

M7.3 熊本地震に伴う誘発地震：地震動即時予測の観点から

干場充之・小木曾仁（気象研究所）

1. はじめに：

一連の熊本地震で2016年4月16日にM7.3が発生し、大分県湯布院付近を強震動が通過した直後に、M6クラスの地震（以後、誘発地震と呼ぶ）が発生したことが指摘されている（たとえば、地震調査委員会「平成28年熊本地震の評価」）。湯布院付近では、M7.3の地震だけでは震度4程度の揺れだったものが、この誘発地震により震度6弱が観測されている。

地震動即時予測の研究分野では、特に2011年の東北地震以降、巨大地震の広い震源域の課題と、ほぼ同時に発生する複数の地震の課題、への対応が注目されてきている。これらの課題に対処するため、我々は、（震源やMを介さずに）“揺れから揺れを直接予測する”という考え方のもと、「揺れの数値予報」の構築を目指してきた（Hoshiya and Aoki, 2015）。一方、現在、世界各地で研究されている地震動即時予測の手法では、依然、震源とMを即時に推定する、という戦略のもと、震源位置を求めた後、上下動変位振幅からMを求めている場合が多い。

今回、誘発地震に伴う課題が新たに見えてきた。「変位振幅からMを求める」手法と「揺れの数値予報」による予測を比較しながら報告する。

2. 「変位振幅からMを求める」手法で見えてきた課題：

世界の多くの地震動即時予測の手法では、0.075Hz (13.3s)のハイパスフィルターを通した上下動変位振幅(Pd)から、Pd-Mの経験式に基づきMを推定している。P波着震の数秒間（通常、2~4秒間）の最大振幅からPdを求めている場合が多い。

図1には、誘発地震の震源に近い2観測点（K-NET湯布院 OIT009, 大分県震度計由布市湯布院町川上(94048)）での、上下動加速度と上下動変位（0.075Hzのフィルター適用後）である。加速度での大振幅が出現する数秒前に、変位振幅の最大値が見られる。この大きな変位振幅はM7.3の地震によるものである。この大きな変位に乱され、誘発地震による変位振幅の大きさははっきりとはわからない。実際、変位波形だけを見ても、誘発地震が発生していたことを認識すること自体がかなり難しい。

加速度で見ても、M7.3による震動が終わっていない段階で誘発地震が発生しており、誘発地震のP波を自動検測することは容易でない。仮に、自動検測に成功し震源位置を即時推定することが出来たとしても、Mが推定できない状況である。

3. 「揺れの数値予報」による予測：

「揺れの数値予報」は、データ同化手法を用いて揺れの実況値を正確に把握し、その後に波動伝播の物理（波動伝播のシミュレーション）により未来を予測する、という考え方である。図2は揺れ指標として、気象庁震度を用いた例である。図2では、震源時（O.T.）から40秒後に湯布院付近での強い揺れを把握したことに応じて、その強い揺れが伝播していくことを予測している。なお、この図では、地盤の増幅特性として、Ogiso et al.(2016)の結果を用いて補正している。

ここで、最近、「揺れの数値予報」に新たに工夫を加えた点を2点記しておく。1点目は、距離減衰関係の補正である。通常、経験的に求められる距離減衰式は、2次元空間を仮定した減衰よりも強く、3次元を仮定した場合よりも弱い場合が多い（たとえば、現在、気象庁が緊急地震速報で用いている震度予測

の距離減衰は、距離の-1.72乗であり、2次元減衰の-1乗よりも強く、3次元減衰の-2乗よりも弱い。この距離減衰特性を再現するため新たなパラメータを導入し、2次元減衰よりも強く3次元減衰よりも弱い距離減衰特性を仮想的に導入した。もう1点は、データ同化を対数で行うことである。従来、線型で行っていたが、振幅が急変する所で“補正しすぎる”場合があった。一方で、地震波振幅の誤差は通常、相対比（たとえば、「シミュレーションは実測の倍半分で合っている」など）で述べられることが多い。そこで、振幅の対数を取り、データ同化を行うことを行っている。

4. 議論：

地震動即時予測で目指すのは揺れの即時予測であり、わが国では、揺れを表す指標として気象庁震度を用いることが多い。気象庁震度は、加速度波形から周期1秒付近に重みをもつフィルターを介して推定され、周期10秒以上や0.1秒以下の周期成分はほとんど影響しない。よって、周期10秒やそれ以上の長周期成分は震度の即時予測ではノイズとなる。周期13秒までの変位を見ているのでは、このノイズを見ていることになる。予測したい揺れの周期に注目することが重要であり、震度を予測したい場合は、震度に応じた周期（1秒付近）に注目することが大切である。

謝辞：防災科研 K-NET, KiK-net, JMA 震度計観測網, および大分県震度計観測網の波形データを使用した。

文献：Hoshiya, M. and S. Aoki (2015), BSSA, 105, 1324-1338, doi:10.1785/012014028.

Ogiso, M., S. Aoki and M. Hoshiya (2016), Earth, Planets and Space, 68, doi:10.1186/e40623-016-0467-4.

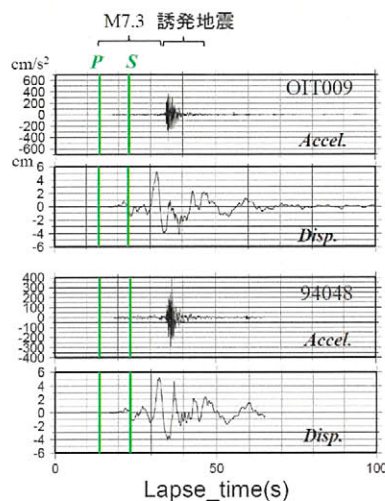


図1：OIT009と94048での上下動加速度と変位（0.075Hzのフィルター適用後）。P、Sは、M7.3の地震によるP波とS波の着震時。観測点94048の記録は65秒まで。

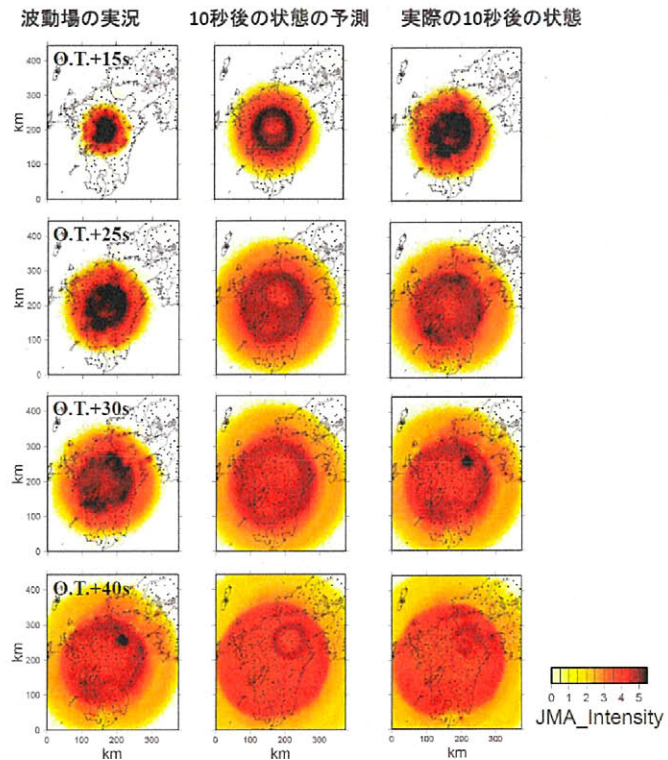


図2：震源時から15秒、25秒、35秒および40秒の時点での、波動場の実況、10秒後の予測、実際の10秒後の状態。誘発地震は35秒の直後に発生している。